

秋田大学 土木工学科 学生員 潤内健仁
秋田大学 土木工学科 正員 稲農知徳

1. まえがき

鋼床板上に敷設されるアスファルト舗装は、鋼床板が走行車両等により振動を受ける際、振動減衰にかなり影響を与える。この影響を検討する為に、基礎的な粘弹性層を有する複合梁の解析を行った。モデルとして、両面に金属層を持ち、心材として粘弹性層を持つ梁を考える。解析には、有限要素法を適用し、初めに、三層梁の変位関数を仮定し、節点変位ベクトルと、節点力ベクトルを定義し、弾性層と粘弹性層の歪成分を、節点変位成分で表示する。梁の、歪エネルギーの変分をとり、マトリクス表示して、整理し、さらに分布横荷重・慣性力と等価な節点外力を求める。梁系に対する仮想仕事原理より、剛性方程式が誘導される。ここで粘弹性体を、広義の弾性率を持つ弾性体で表す為に、 $G' = i(w_i + G')$ の複素数表示される複素弾性率を導入する。従って剛性マトリクスは、複素剛性マトリクスとなり、実数部と虚数部に分解して解くと節点変位を求める事ができる。

2. 三層梁の曲げ理論

Fig-1に、粘弹性層を持つ三層梁を示す。表層が、弾性層の金属板で、心材が粘弹性層とする。

この解析には次の仮定を設ける。

- 1) 各層のたわみ w は等しい。
- 2) 粘弹性層は断面力を受け持たない。
- 3) 各層間の境界では滑りはない。

Fig-1より各層の歪は次式で表わされる。

$$\epsilon_{xz} = \frac{\partial u_i}{\partial x} - z_i \frac{\partial^2 w}{\partial x^2} \quad l_i = \frac{\partial u_i}{\partial z} + \frac{\partial w}{\partial x} \quad (1)$$

u_i : 各層中央面の x 方向変位 w : 垂直変位

(1) 式と、仮定 3) より、弾性層の直ひずみと、粘弹性層のせん断歪は、次式で表わされる。

$$\epsilon_{xz} = \frac{\partial u_i}{\partial x} - z_i \frac{\partial^2 w}{\partial x^2} \quad \epsilon_{xz} = \frac{\partial u_3}{\partial x} - z_3 \frac{\partial^2 w}{\partial x^2}$$

$$l_2 = \frac{1}{z h_2} (u_3 - u_1 + e \frac{\partial w}{\partial x}) \quad (2)$$

$$e = h_1 + 2 h_2 + h_3$$

3. 三層梁の有限要素法解析

変位関数 $w(x) = H(x)\{a\}$

$$u_1(x) = H(x)\{b\} \quad u_3(x) = H(x)\{c\} \quad (3)$$

ここで、 $H(x) = [1 \ x \ x^2 \ x^3]$ $h(x) = [1 \ x]$

$\{a\}^T = [a_0 \ a_1 \ a_2 \ a_3]$ $\{b\}^T = [b_0 \ b_1]$ $\{c\}^T = [c_0 \ c_1]$ 節点変位ベクトル・節点力ベクトルを次のように定義する。 $\{w\}^T = [w_i \ \phi_i \ w_j \ \phi_j]$ $\{u\}_i^T = [u_{1i} \ u_{3i}]$ $\{u\}_3^T = [u_{3i} \ u_{3j}]$ $\{P_i\}^T = [P_{1i} \ P_{3i}]$ $\{P_3\}^T = [P_{3i} \ P_{3j}]$ $\{Q\}^T = [Q_i \ M_i \ Q_j \ M_j]$ (4) (3)(4)式より、 $\{w\} = [A]\{a\}$

$$\{u\}_i = [B]\{b\} \quad \{u\}_3 = [B]\{c\}$$

従って、(3)式は、ここで

$$w(x) = [H][A]\{a\}$$

$$u_i(x) = [h][B]\{b\}$$

$$u_3(x) = [h][B^{-1}]\{u\}_3$$

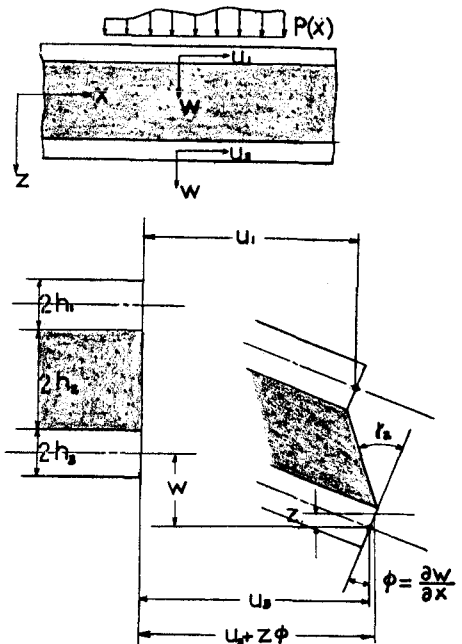


Fig-1

$$[A^{-1}] = \begin{bmatrix} 1 & 0 & 0 & 0 \\ 0 & 1 & 0 & 0 \\ -\frac{3}{2} & -\frac{2}{2} & \frac{3}{2} & -\frac{1}{2} \\ \frac{2}{2} & \frac{1}{2} & -\frac{2}{2} & \frac{1}{2} \end{bmatrix} \quad [B^{-1}] = \begin{bmatrix} 1 & 0 \\ -\frac{1}{2} & \frac{1}{2} \end{bmatrix}$$

梁の歪エネルギーの変分 $\delta \Pi_i$ を求める。

$$\delta \Pi_i = \iiint_{A_1} \delta E_i \delta u_i dA_1 dx + \iint_{A_2} \delta E_3 \delta u_3 dA_3 dx + \iint_{A_2} \delta P_i dA_2 dx \quad (5)$$

$$\text{ここで: } E_i = [\bar{h}_x][B^{-1}]\{u_i\} - Z_1[H_{xx}][A^{-1}]\{w\}, \quad E_3 = [\bar{h}_x][B^{-1}]\{u_3\} - Z_3[H_{xx}][A^{-1}]\{w\}$$

$$P_i = \frac{1}{Z h_x} [(\bar{h}_x)[B^{-1}](\{u_3\} - \{u_1\}) + e[H_{xx}][A^{-1}]\{w\}]$$

式(5)をマトリクス表示して整理する。

$$\delta \Pi_i = [\delta\{u_1\}, \delta\{u_3\}, \delta\{w\}] \begin{bmatrix} K_{uu} & K_{ub} & K_{uw} \\ K_{bu} & K_{bb} & K_{bw} \\ K_{wu} & K_{bw} & K_{ww} \end{bmatrix} \begin{bmatrix} \{u_1\} \\ \{u_3\} \\ \{w\} \end{bmatrix} \quad (6)$$

K : 複素剛性マトリクス

分布荷重 $P(x)$ のなす仮想仕事 $\delta \Pi_e$ を計算し、外荷重と等価な節点外力成分を求める。

$$Q = \frac{\partial \Pi_e}{\partial w}$$

同様にして慣性力と等価な節点外力を求める。

$$\begin{aligned} Q_i &= \left[\begin{array}{c} 1 \ 0 \ -\frac{3}{2} \ \frac{2}{2} \\ 0 \ 1 \ -\frac{12}{2} \ \frac{1}{2} \\ 0 \ 0 \ \frac{3}{2} \ -\frac{2}{2} \\ 0 \ 0 \ -\frac{1}{2} \ \frac{1}{2} \end{array} \right] \quad Q = \frac{\partial \Pi_e}{\partial w} = m\{\ddot{w}\} \quad Q: \text{節点外力} \\ (7) \quad m &= [A^{-1}]^T \bar{m} [A^{-1}] = [A^{-1}] \int_0^L [H] \frac{1}{g} A [H] dX [A^{-1}] = \frac{g A L}{g} \begin{bmatrix} \frac{13}{35} & \frac{116}{210} & \frac{9}{70} & \frac{130}{420} \\ \frac{130}{105} & \frac{136}{420} & \frac{2}{70} & \frac{116}{210} \\ \frac{9}{35} & \frac{2}{70} & \frac{13}{35} & \frac{116}{210} \\ \frac{130}{105} & \frac{116}{210} & \frac{2}{70} & \frac{13}{35} \end{bmatrix} \\ &\text{m: 質量マトリクス} \quad g: \text{単位体積重量} \end{aligned}$$

$$\text{ここで: } F_{xi} = \int_0^L p(x) x^i dx \quad i=0,1,2,3$$

$$g: \text{重力加速度} \quad A: \text{梁の断面積} \quad (8)$$

$$\text{梁系に対する仮想仕事の原理より、(9)が成立する。} \quad [K(i\omega)] \begin{bmatrix} \{u_1\} \\ \{u_3\} \\ \{w\} \end{bmatrix} + m\{\ddot{w}\} = \begin{bmatrix} P_1 \\ P_3 \\ Q \end{bmatrix} \quad (9)$$

$$\begin{aligned} \text{複素剛性マトリクス } [K(i\omega)] &= [G] + i[H] \text{ と表わす。} \\ [G] &= \begin{bmatrix} K_{uu} & K_{ub} & K_{uw} \\ K_{bu} & K_{bb} & K_{bw} \\ K_{wu} & K_{bw} & K_{ww} \end{bmatrix} \quad [H] = \begin{bmatrix} K_{uu} & K_{ub} & K_{uw} \\ K_{bu} & K_{bb} & K_{bw} \\ K_{wu} & K_{bw} & K_{ww} \end{bmatrix} \\ K_{uu} &= \int_0^L [N_x]^T E_1 [N_x] dA_1 + \int_0^L [N_x]^T G' [N_x] dA_2 \\ K_{ub} &= - \int_0^L G' [N_x]^T [N_x] dA_2 dx \quad K_{uw} = - \int_0^L [N_x]^T E_1 [N_x] dA_1 dx - \int_0^L [N_x]^T G' [N_x] dA_2 dx \\ K_{bb} &= - \int_0^L [N_x]^T E_3 [N_x] dA_3 + \int_0^L [N_x]^T G' [N_x] dA_2 \quad K_{ub} = K_{uu}^T \quad K_{uw} = K_{uu}^T \quad K_{bw} = K_{uu}^T \\ K_{uw} &= \int_0^L [N_x]^T \eta' \omega dA_2 dx \quad K_{bb}' = \int_0^L [N_x]^T \eta' \omega [N_x] dA_2 dx \quad K_{uw}' = \int_0^L [N_x]^T \eta' \omega [N_x] dA_2 dx \\ K_{uu}' &= - \int_0^L \eta' \omega [N_x]^T [N_x] dA_2 dx \quad K_{ub}' = - \int_0^L [N_x]^T \eta' \omega [N_x] dA_2 dx \quad K_{bw}' = \int_0^L [N_x]^T \eta' \omega [N_x] dA_2 dx \end{aligned}$$

$$K_{uu}' = K_{ub}^T \quad K_{uw}' = K_{ub}^T \quad \therefore [N_x] = \frac{1}{Z h_x} [\bar{h}_x][B^{-1}] = \frac{1}{Z h_x} \left[1 - \frac{x}{L}, \frac{x}{L} \right]$$

$$[N_x] = [\bar{h}_x][B^{-1}] = \left[-\frac{1}{L}, \frac{1}{L} \right] \quad [N_x] = \frac{e}{Z h_x} [H_x][A^{-1}] = \frac{e}{Z h_x} \left[-\frac{6}{L^2} x + \frac{6}{L^3} x^2, -\frac{4}{L} x + \frac{3}{L^2} x^2, \frac{6}{L^2} x - \frac{6}{L^3} x^2, -\frac{2}{L} x + \frac{3}{L^2} x \right]$$

$$[N_{xx}] = \begin{bmatrix} Z_1 \\ Z_3 \end{bmatrix} [H_{xx}][A^{-1}] = Z \left[-\frac{6}{L^2} + \frac{12}{L^3} x, -\frac{4}{L} + \frac{6}{L^2} x, \frac{6}{L^2} - \frac{12}{L^3} x, -\frac{2}{L} + \frac{6}{L^2} x \right]$$

周期的变化を取り扱い $u_1 = u_1^* e^{i\omega t}$ $u_3 = u_3^* e^{i\omega t}$ $w = w^* e^{i\omega t}$ $P_1 = P_1^* e^{i\omega t}$ $P_3 = P_3^* e^{i\omega t}$

$Q^* = Q^* e^{i\omega t}$ とおく。さらに節点変位及び外力の振幅を一般に複素数として、 $u_1^* = \{s\} + i\{t\}$

$u_3^* = \{p\} + i\{q\}$ $w^* = \{t\} + i\{u\}$ $P_1^* = \{a\} + i\{b\}$ $P_3^* = \{c\} + i\{d\}$ $Q^* = \{e\} + i\{f\}$

とおく。以上の関係を、(9)(10)式に代入し、実数部・虚数部に整理し、(11)(12)式を得る。

$$[-[M]\omega^2 + [G]]\{s\} - [H]\{t\} = \{\alpha\} \quad (11) \quad [H]\{s\} + [-[M]\omega^2 + [G]]\{t\} = \{\beta\} \quad (12)$$

ここで、 $[G][H]$ は、(10)式で表わされるものであり、(11)(12)式を解いて、 $\{s\}$ と $\{t\}$ を求め、
式により所要の節点変位が、複素数 $\{u^*\} = [u_1^* \ u_3^* \ w^*]^T$ として得られる。ここで $\{s\}^T = \{s\} \{p\} \ {t\}^T = \{t\} \ {q\} \ {u\}^T = \{u\} \ {t\} \ {e\}^T = \{a\} \ {t\} \ {c\} \ {d\} \ {f\}^T = \{b\} \ {t\} \ {d\} \ {f\}^T$ である。

4. 参考文献 山田嘉昭;「塑性・粘弹性」日本鋼構造協会、立原・浦田・安田;「粘弹性層を持つ部分多層梁の振動解析」機械学会論文集 N0.335号、R.A.Ditaranto;「Theory of Vibratory Bending for Elastic and Viscoelastic Layered Finite Length Beams」J.A.M 488